

## بررسی محیط‌های رسوب‌گذاری و پتانسیل مخزنی رخساره‌های رودیستی سازند تاربور در حوضه رسوبی زاگرس، جنوب غرب ایران

امیرحسین رحیمی‌نژاد

استادیار گروه اکولوژی، پژوهشگاه علوم و تکنولوژی پیشرفت و علوم محیطی، دانشگاه تحصیلات تکمیلی صنعتی و فناوری پیشرفت، کرمان، ایران

\* ah.rahiminejad@kgut.ac.ir نویسنده مسئول:

نوع مقاله: کاربردی

دریافت: ۱۴۰۲/۸/۳۰ پذیرش: ۱۴۰۳/۱/۲۸

### چکیده

در این پژوهش، به بررسی محیط‌های رسوب‌گذاری و پتانسیل مخزنی رخساره‌های رودیستی کرتاسه بالایی سازند تاربور در حوضه رسوبی زاگرس پرداخته شده است. سازند تاربور عمدتاً در یک سکوی کربناته از نوع رمپ هموکلیتال نهشته شده است. رخساره‌های رودیستی نهشته شده در محیط‌های سد، شول یا برآمدگی‌های کربناته شامل دو رخساره اصلی: ۱- رودیست گرین‌استون و ۲- بایوکلاست-رودیست پکستون/گرین‌استون همراه با رخساره برجای رودیست بانداستون می‌باشند. در رمپ میانی یا جلوی ریف رخساره‌های رودیستی شامل: ۱- رودیست وکستون/پکستون، ۲- رودیست- اوربیتoid وکستون/پکستون، ۳- بایوکلاست-رودیست- اوربیتoid وکستون/پکستون، ۴- اوربیتoid- رودیست گرین‌استون، ۵- رودیست- فرامینیفر- اینترکلاست‌گرین‌استون و ۶- بایوکلاست-رودیست پکستون/فلوتاستون/رودستون هستند. رخساره‌های رودیستی نهشته شده در محیط پشت ریف یا لagon به شرح زیر هستند: ۱- میلیولید- لوفتوزیا- اوربیتoid- رودیست وکستون/پکستون، ۲- دیسیکلینا- میلیولید- بایوکلاست (رودیست) وکستون/پکستون، ۳- بایوکلاست- میلیولید- رودیست وکستون/پکستون، ۴- فرامینیفر- بایوکلاست- رودیست وکستون/پکستون، ۵- رودیست- اینترکلاست- میلیولید پکستون و ۶- فرامینیفر- رودیست پکستون/گرین‌استون. رخساره رودیست بانداستون به صورت محدود در ریف‌های کومه‌ای (یچ ریف) رودیستی داخل لagon شکل گرفته است. ساختار برجای رودیستی با کلنی‌های رودیست در محیط‌های سد، شول یا برآمدگی‌های کربناته و نیز احتمالاً به طور محدودتری یک پچ ریف رودیستی در محیط لagon می‌توانسته منشاء خرددهای رودیست در سکوی کربناته سازند تاربور بوده باشد که خرددهای رودیست در اثر امواج توفانی و ابرزی زیاد آب محیط از آن‌ها جدا شده‌اند. در سازند تاربور رخساره‌های رودیست بانداستون، رودیست پکستون/گرین‌استون و رودیست رودستون/فلوتاستون از قابلیت مخزنی بالایی می‌توانند برخوردار می‌باشند. در مجموع، رخساره‌های رودیستی سازند تاربور در شرایط آب و هوایی گرم با دمای بیشتر از ۲۵ درجه سانتی‌گراد نهشته شدند.

**واژه‌های کلیدی:** سکوی کربناته، رودیست، سازند تاربور، رخساره، کرتاسه پسین

### (جانسون و همکاران، ۲۰۰۱). رودیست‌ها از انتهای

### ۱- پیشگفتار

ژوراسیک تا اواخر کرتاسه می‌زیسته اند (رضایی سولگانی و همکاران، ۱۳۹۵) و یکی از فراوان‌ترین ماکروفیل‌ها در نهشته‌های کربناته دریایی کم عمق کرتاسه (به خصوص کرتاسه بالایی) در نواحی حاره‌ای تا نیمه‌حاره‌ای حاشیه‌ای نوثتیس محسوب می‌شوند (مورو و همکاران، ۲۰۱۶). آن‌ها به طور کلی از انتهای ژوراسیک تا اواخر کرتاسه می‌زیسته‌اند (رضایی سولگانی و همکاران، ۱۳۹۵). این گروه از دوکفه‌ای‌های کفzی ناجور شکل<sup>۲</sup> به صورت

در دوره کرتاسه (باشه بین ۶۶ تا ۱۴۵ میلیون سال پیش)، طیف وسیعی از رخساره‌های کربناته و ساختارهای ریفی و برآمدگی‌های کربناته<sup>۱</sup> ریستی در سکوهای کربناته در دریاهای کم عمق اقیانوس تیس در محدوده جغرافیایی بین ۲۰ درجه شمالی تا ۴۰ درجه جنوبی نهشته و تشکیل شدند (هارتزهورن، ۱۹۸۹؛ هک، ۲۰۱۴). این دوره یکی از گرم‌ترین بازه‌های زمانی در تاریخ زمین‌شناسی به شمار می‌آید (جانسون و همکاران، ۲۰۰۱؛ کلر و همکاران، ۲۰۰۸) که معرف نوسانات و تعییرات اقلیمی نیز می‌باشد

<sup>2</sup> heterodont

<sup>1</sup> build ups

۱۹۸۱؛ حیدری، ۲۰۰۸: شکل ۱). سازند تاربور به سن کرتاسه پسین (کامپانین تا مائستریشین) به طور عمده از سنگ‌آهک‌های ریفی رودیستی تشکیل شده و بیشتر در فارس داخلی و زاگرس مرتفع گسترش دارد. به طرف مناطق جنوب غربی نهشته‌های این سازند به سنگ آهک‌های نازک لایه با منشا عمیق تبدیل می‌گردد و در ادامه به شیل‌های سازند گورپی تغییر رخساره می‌دهد (جیمز و وایند، ۱۹۶۵؛ آقانباتی، ۱۳۸۳؛ وزیری‌مقدم و همکاران، ۱۳۹۲). سازند تاربور در بخش الگو در کوه گدوان در نزدیکی روستای تاربور در استان فارس شامل توالی‌هایی به ضخامت تقریبی بین ۵۰۰ تا ۷۰۰ متر مت Shank از سنگ آهک‌های توده‌ای، صخره‌ای و کمی انیدریتی حاوی مقادیر فراوانی از فسیل صدف‌های نرم‌تنان است و در بین دو سازند گورپی در زیر و ساقچون در بالا نهشته شده است (جیمز و وایند، ۱۹۶۵؛ امیری بختیار و همکاران، ۱۳۸۵). در مجموع، سازند تاربور در نقاط مختلف زاگرس، تنوع رخساره‌ای، ضخامت، سنگ‌شناسی و وضعیت چینه‌شناسی بالا و پایین متغیری از خود نشان می‌دهد (مثال: موسوی و عسگری پیربلوطی، ۱۳۸۷؛ وزیری‌مقدم و همکاران، ۲۰۰۵؛ عزیزی و همکاران، ۱۳۹۴؛ افقه، ۲۰۲۲؛ قنبرلو و همکاران، ۲۰۲۲).

### ۳- بحث

به طور کلی در کرتاسه، مقادیر زیادی از خرده‌های رودیست با اندازه‌های مختلف (با ابعاد سیلت تا گراول) از اجتماعات زیستی و بدنه رودیست‌ها منشاء گرفته و جدا شده و به صورت افق‌های واریزهای یا رخساره‌های رودیستی در محیط‌های رسوب‌گذاری مختلفی بر روی سکوهای کربناته تجمع کردن (فلوگل، ۲۰۱۰؛ اسرافیلی-دیزجی و همکاران، ۲۰۱۵). در کرتاسه، گسترش تجمعات رودیستی و انشاست خرده‌ها و واریزهای بایوکلاستی آن‌ها در منطقه بوده‌اند (جردن و همکاران، ۱۹۸۵؛ دراویس، ۱۹۹۶). امواج توفانی در محیط رسوب‌گذاری نیز در تخریب رودیست‌ها و ایجاد خرده‌های رودیستی نقش داشته است. رخساره‌های رودیستی حاصل از تجمع فراوان خرده‌ها و واریزهای بایوکلاستی رودیست‌ها، در

عملق خوارهای اپی‌بنتیک<sup>۳</sup> و حفار<sup>۴</sup> زندگی می‌کردند و می‌توانسته‌اند به صورت محلی تجمعات باپوسترومی (Rifif و برآمدگی‌های کربناته) وسیعی را همراه یا بدون مرجان‌ها در محیط‌های ساب‌تايدال تشکیل دهند (اسکلتون، ۱۹۷۸؛ راس و اسکلتون، ۱۹۹۳؛ اسکلتون و همکاران، ۱۹۹۵؛ اشتوبر و لوزر، ۲۰۰۰؛ مورو و همکاران، ۲۰۰۲، ۲۰۰۸). رخساره‌های کربناته رودیستی که حاوی خرد-های اسکلتی فراوانی از رودیست‌ها می‌باشند از مهم‌ترین رخساره‌های سنگ‌های رسوبی کربناته هستند و هم به لحاظ شاخص بودن در تفسیر شرایط رسوب‌گذاری و محیطی و هم پتانسیل مخزنی در خاورمیانه و مدیترانه بسیار حائز اهمیت می‌باشند (اسرافیلی-دیزجی و همکاران، ۲۰۱۵؛ دو و همکاران، ۲۰۱۵). در این تحقیق، به بررسی شرایط محیطی رسوب‌گذاری و قابلیت مخزنی رخساره‌های رودیستی کرتاسه بالایی سازند تاربور در حوضه رسوبی زاگرس در جنوب غرب ایران پرداخته شده است. این سازند همراه با سازند سروک مهم‌ترین سازندهای رودیست‌دار در ایران به شمار می‌آیند (آقانباتی، ۱۳۸۳).

**۲- حوضه رسوبی زاگرس و چینه‌شناسی سازند تاربور**  
حوضه رسوبی زاگرس به صورت کمرنده با روند شمال غربی-جنوب شرقی و طول حدود ۲۰۰ کیلومتر بخشی از کمرنده کوه‌زایی آلپ-هیمالیا می‌باشد که از شرق گسل آناتولی در شرق ترکیه تا جنوب ایران و عمان ادامه دارد (علوی، ۲۰۰۷؛ فخاری و همکاران، ۲۰۰۸؛ موسوی‌زاده و همکاران، ۲۰۲۰). کمرنده زاگرس در اثر تصادم صفات غربی و اوراسیا به هم در حاشیه شمال شرقی گندوانا شکل گرفته است (بیدون و همکاران، ۱۹۹۲؛ علوی، ۲۰۰۷؛ فخاری و همکاران، ۲۰۰۸). حوضه زاگرس در جنوب غرب ایران در برگیرنده توالی ضخیمی (حدود ۷ تا ۱۲ کیلومتر) از نهشته‌های تبخیری، کربناته و آواری پرکامبرین تا هولوسن می‌باشد (جیمز و وایند، ۱۹۶۵؛ بربریان و کینگ، ۱۹۸۱؛ حیدری، ۲۰۰۸). بر اساس تاریخچه رسوب‌گذاری و خصوصیات زمین ساختاری-رسوبی، حوضه رسوبی زاگرس به زون‌های فارس (شامل زیرزون‌های فارس داخلی و ساحلی)، لرستان، ایذه، فروافتادگی دزفول و زاگرس مرتفع تقسیم شده است (فالکون، ۱۹۷۴؛ بربریان و کینگ،

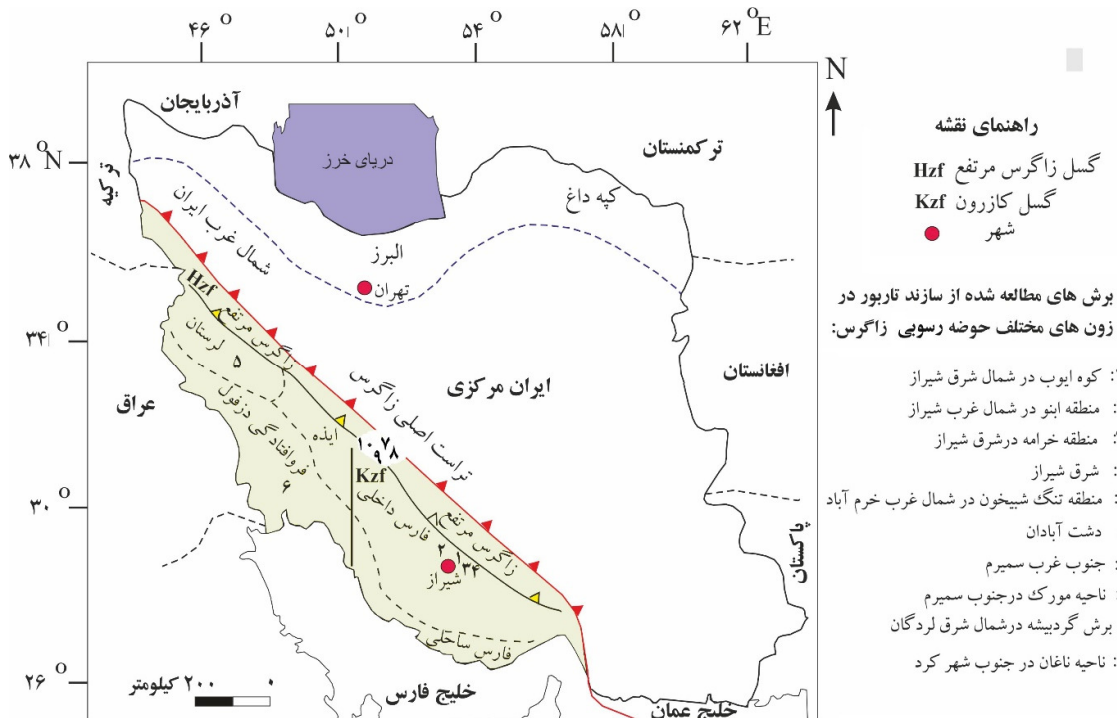
<sup>5</sup> paleohigh

<sup>3</sup> epibenthic suspension feeders

<sup>4</sup> sediment dweller

کاملاً اجتماعی می‌زیسته‌اند، اما بر خلاف مرجان‌ها قادر به تشکیل توده‌های ریفی کامل نبودند (فیلیپ و پلاتل، ۱۹۹۶).

محیط‌های شول و سد یا ریف، بخش روی به سد یا شول لاغون و رمپ میانی تا اوایل رمپ خارجی در سکوهای کربناته و همچنین حاشیه‌های شلف‌ها تشکیل می‌شوند (شکل ۲) (فلوگل، ۲۰۱۰). اگرچه رویدیست‌ها به صورت



شکل ۱. تقسیم‌بندی حوضه رسوی زاگرس به زون‌های مختلف بر اساس تاریخچه رسوب‌گذاری و خصوصیات زمین ساختاری - رسوی ایران (ترسیم شده بر اساس ویلسن و همکاران، ۲۰۰۹ و رحیمی‌نژاد و موسوی‌زاده، ۲۰۲۳). رخمنو هایی از سازند تاربور که به لحاظ محیط رسوب‌گذاری و رخساره‌ای تاکنون در زاگرس مطالعه شده‌اند با شماره‌های ۱ تا ۱۰ بر روی نقشه مشخص شده‌اند (۱: شمس و همکاران، ۲: پروانه‌نژاد‌شیرازی و همکاران، ۳: وزیری‌قدم و همکاران، ۴: افقه، ۵: قنبرلو و همکاران، ۶: فکور و همکاران، ۷: عزیزی و همکاران، ۸: قنبرلو و همکاران، ۹: موسوی و عسگری پیربلوطی، ۱۰: بامداد و همکاران، ۱۳۸۵ و ۱۳۹۴).

Fig. 1. Subdivisions of the Zagros sedimentary Basin based on the sedimentary history and sedimentary-structural features of the Iran Plate (redrawn based on Wilmsen et al., 2009 and Rahiminejad and Moosavizadeh, 2023). The Tarbur Formation was studied for facies and sedimentary environmental analyses in different parts of the Zagros sedimentary Basin (Interior Fars, High Zagros Zone, Lurestan Zone and Dezful Embayment Zone) which are marked with numbers 1 to 10.

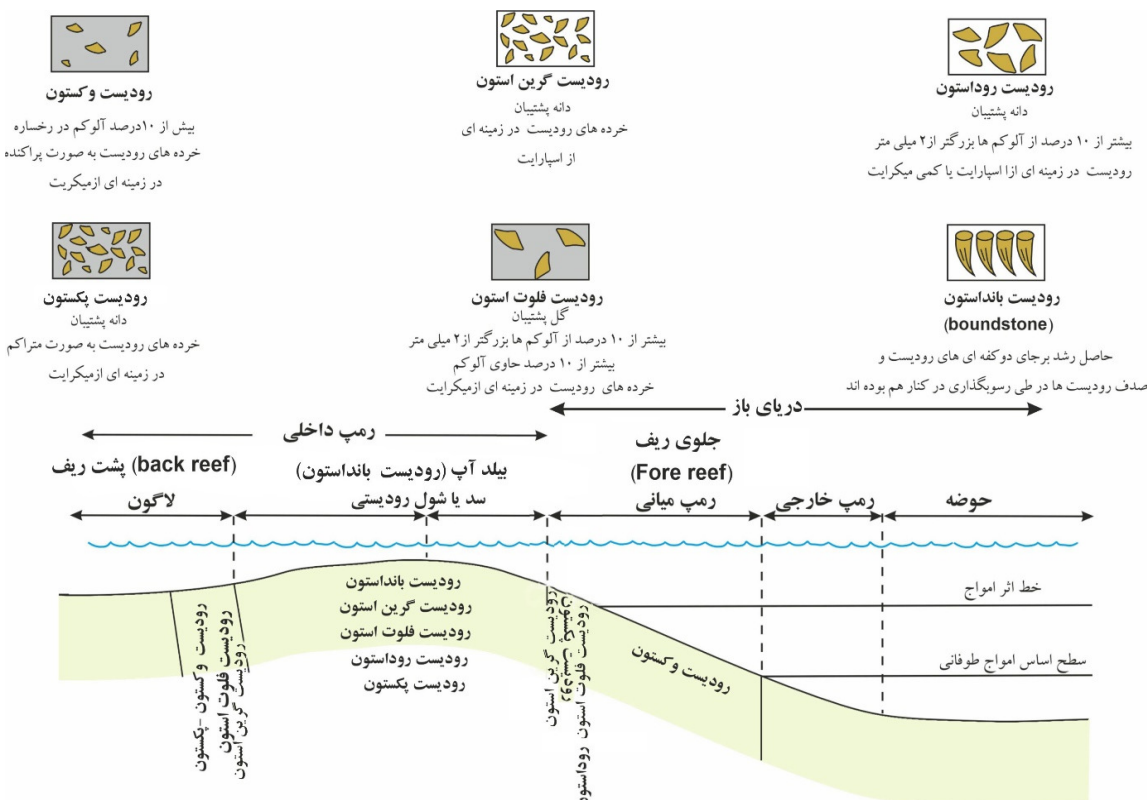
رخساره رویدیست بانداستون<sup>۱</sup> حاصل رشد برجای رویدیست‌ها می‌باشد و صدف رویدیست‌ها در آن در طی رسوب‌گذاری در کنار هم بوده‌اند و رخساره‌ای برجا و غیرواریزهای محسوب می‌شود. پراکندگی محیطی ریز رخساره‌های مذبور در شکل ۲ نشان داده شده است که تابع نوع سایر آلوکم‌هایی که همراه با خرده‌های رویدیست مشاهده می‌شوند، می‌باشد. ریز رخساره‌های کربناته رویدیست پکستون، رویدیست گرین‌استون، رویدیست روکستون، رویدیست فلوتاستون و رویدیست بانداستون به

رخساره‌های ذکر شده بر اساس نوع بافت زمینه‌شان (میکریتی یا اسپارایتی بودن)، اندازه خردکهای بایوکلائستی رویدیستی موجود در آن‌ها و همچنین فراوانی این خردکهای و درصد حجمی که از رخساره را اشغال می‌کنند و بر اساس طبقه‌بندی‌های دانهام (۱۹۶۲)، امبری و کلوان (۱۹۷۱) و رایت (۱۹۹۲) به پنج نوع ریز رخساره اصلی شامل: رویدیست گرین‌استون، رویدیست پکستون، رویدیست وکستون، رویدیست فلوتاستون و رویدیست روکستون دسته‌بندی می‌شوند (شکل ۲). لازم به ذکر است که

<sup>۱</sup> rudistboundstone

همکاران، ۲۰۱۵؛ سعدونی، ۲۰۱۸). تخلخل‌های اولیه موجود در پنج رخساره رودیستی ذکر شده، شامل تخلخل‌های بین‌دانه‌ای و تخلخل‌های درون اسکلتی صدف رودیست‌ها می‌باشند که در اثر فرآیند انحلال یا شکستی‌های ثانویه در طی دیاژنز می‌توانند توسعه بیشتری پیدا کنند و در نتیجه باعث افزایش پتانسیل مخزنی رخساره‌های میزبان خود شوند (فلوگل، ۲۰۱۰؛ سعدونی، ۲۰۱۸).

دلیل ویژگی‌های رسوب‌شناسی و بافتی‌شان، خصوصیات مخزنی خوبی از خود نشان می‌دهند. آن‌ها دارای تخلخل، تراوایی و فشار مویینگی بالایی هستند (سعدونی، ۲۰۱۸) با توجه به این مطلب و اینکه این رخساره‌های رودیستی علاوه بر داشتن تخلخل‌های اولیه فراوان، تخلخل‌های ثانویه هم در آن‌ها بعضًا تشکیل می‌شود، لذا رخساره‌های رودیستی ذکر شده به عنوان یکی از افق‌های مخزنی مهم هیدروکربنی محسوب می‌شوند (دو و



شکل ۲. توزیع کلی رخساره‌های رودیستی کریباتی در یک سکوی کریباتی (مدل سکوی کریباتی ترسیم شده بر اساس اسرافیلی- دیزجی و همکاران، ۲۰۱۵). نام‌گذاری رخساره‌ها بر اساس طبقه‌بندی‌های دانهام (۱۹۶۲)، امبری و کلوان (۱۹۷۱) و رایت (۱۹۹۲) می‌باشد. رخساره رودیست بانداستون رخداره‌ای بر جا و غیرواریزه‌ای می‌باشد.

**Fig. 2. Generalized model of paleoenvironmental distribution of Upper Cretaceous rudist facies in a carbonate platform (redrawn from Esrafilii-Dizaji et al. 2015). The nomenclature of rudist facies is based on Dunham (1962), Embry and Klovan (1971) and Wright (1992). Rudist boundstone is an autochthonous facies.**

همکاران، ۲۰۱۵؛ سعدونی، ۲۰۱۸). لازم به ذکر است عملکرد بعضی از فرآیندهای دیاژنزی مانند سیمانی شدن<sup>۱</sup> و فشردگی<sup>۲</sup> می‌توانند باعث کاهش تخلخل و در نتیجه کاهش کیفیت مخزنی رخساره‌های رودیستی بشوند (جردن و همکاران، ۱۹۸۵؛ دراویس، ۱۹۹۶). لازم به ذکر

تخلخل‌های ثانویه یا دیاژنزی (تخلخل‌های قالبی) در رخساره‌های مزبور، در اثر فرآیند انحلال یا در اثر رشد و بزرگ شدن دهانه‌ها و مناف طبیعی موجود در اسکلت رودیست‌ها توسط آبهای متئوریک در طی دیاژنز ایجاد شده‌اند (سستاری و سارتوریو، ۱۹۹۵؛ اسرافیلی- دیزجی و

<sup>2</sup> compaction

<sup>1</sup> cementation

صورت گرفته است (شکل ۱ و جدول ۱). در مجموع این مطالعات متمرکز بر رخساره‌ها و محیط‌رسوبگذاری سازند تاربور می‌باشند و بررسی‌های چندانی بر روی خصوصیات مخزنی رخساره‌های آن صورت نگرفته است.

بر اساس مطالعات شمس و همکاران (۱۳۹۱) سازند تاربور در شمال شرق شیراز (کوه ایوب) واقع در زون فارس داخلی از زاگرس (شکل ۱ و جدول ۱)، در یک رمپ هموکلینال نهشته شده است که ریز رخساره‌های رودیستی (حاوی خردۀ‌های فراوان رودیست) شناسایی شده در آن شامل: ۱- رودیست پکستون (آلوكم‌های اصلی آن شامل خردۀ‌های رودیست در اندازه رودایت همراه با آلوكم‌های فرعی از قبیل خردۀ‌های خارپوست و نیز دانه‌های غیراسکلتی پلولید در زمینه‌ای از میکرایت) و ۲- رودیست گرین استون (حاوی خردۀ‌های درشت بیوکلاستی رودیست با منشاء ریفی به میزان ۹۰ درصد از آلوكم‌ها همراه با مقدار خیلی اندکی از پلولید و قطعاتی از خارپوست و اربیتوئیدها در زمینه‌ای از اسپارایت) می‌باشند. ریز رخساره رودیست پکستون و رودیست گرین استون به ترتیب نشان دهنده قسمت کم عمق دریای باز (معادل بخش کم عمق‌تر رمپ میانی) و محیط سدی می‌باشند (شمس و همکاران، ۱۳۹۱). در منطقه خرامه در شرق شیراز (شکل ۱ و جدول ۱) مدل رسوب‌گذاری سازند تاربور منطبق با یک سکوی کربناته از نوع رمپ می‌باشد (وزیری‌مقدم و همکاران، ۲۰۰۵) که ریز- رخساره‌های رودیستی شناسایی شده در آن شامل سه رخساره زیر می‌باشند (وزیری‌مقدم و همکاران، ۲۰۰۵): ۱- رودیست-اوربیتوئید وکستون (متشكل از خردۀ‌های رودیست و روزنه‌دار اوربیتوئید در زمینه‌ای سیلنتی) که مربوط به قسمت‌های دیستال رمپ میانی (معادل بخش عمیق‌تر جلوی ریف) می‌باشد. ۲- رودیست پکستون - (شامل خردۀ‌های فراوان رودیست همراه با مقادیر خردۀ خارپوست در زمینه‌ای از میکرایت) که در نزدیک حاشیه سکو و در قسمت‌های بالایی و کم عمق‌تر رمپ میانی (یا جلوی ریف) و در مجاورت با شول یا سد تشکیل شده است. ۳- بایوکلاستیک (معادل رودیست گرین- استون) گرین استون (حاوی قطعات جور شده و خردۀ‌های بایوکلاستی فراوانی از رودیست‌ها همراه با خردۀ‌های خارپوستان، بریوزورها و مرجان‌ها در زمینه‌ای از اسپارایت) که در محیط شول نهشته شده است.

است که علاوه بر فرآیندهای دیاژنزی که بعد از رسوب- گذاری، با تحت تاثیر قرار دادن میزان تخلخل و تراوایی موجود در رخساره‌های رودیستی، کیفیت مخزنی‌شان را کنترل می‌کنند، عوامل مخرب ریف‌ها یا سدها و شول‌های رودیستی در زمان رسوب‌گذاری رخساره‌های رودیستی و حیات رودیست‌ها نیز بر روی کیفیت مخزنی آن‌ها تاثیرگذار بوده‌اند. این عوامل شامل (سعدونی، ۲۰۱۸): ۱- تخریب، ۲- هجوم و ورود مواد آواری به ساختارهای ریفی یا سدی یا شولی رودیستی در دریا و ۳- غرق‌شدن ریف- ها، سدها و شول‌های رودیستی می‌باشند. فرآیند تخریب می‌توانسته منجر به رسوب‌گذاری و پراکندگی وسیعی از چینه‌ها و لایه‌های ضخیم، متخلخل و نفوذپذیر رخساره‌های رودیستی در نواحی دورتر از محل رشد ساختارهای ریفی، سدی یا شولی رودیستی شده باشد. رخساره‌های رودیستی که توسط رسوبات و مواد آواری پوشیده شده بوده‌اند، در معرض آبهای متئوریک و سیمانی شدن قرار می‌گرفته‌اند و سیمانی شدن باعث کاهش تخلخل آهک‌های رودیستی شده است. لازم به ذکر است که غرق‌شدن ریف‌ها، سدها و شول‌های رودیستی، باعث فشردگی ریف‌ها، سدها و در نتیجه کاهش تخلخل رخساره‌های رودیستی موجود در آن‌ها شده است. همچنین، رخساره‌های رودیست پکستون و رودیست گرین استون می‌توانسته در اثر تخریب وسیع ساختارهای ریفی رودیستی شکل گرفته باشند (سعدونی، ۲۰۱۸).

در حوضه رسوبی زاگرس، خردۀ‌ها و اجزاء رودیست در سازند تاربور به عنوان دانه‌های اسکلتی اصلی در بسیاری از رخساره‌های آن به شمار می‌آیند (افقه، ۲۰۲۲). حرکات دینامیکی تکتونیکی در شکل‌گیری و رسوب‌گذاری نهشته‌های کم عمق سازند تاربور در حوضه فورلندي زاگرس نقش داشته اند (قنبعلو و همکاران، ۲۰۲۲) و به طور کلی این سازند در یک سکوی کربناته نهشته شده است (وزیری‌مقدم و همکاران، ۲۰۰۵) که در آن، بیشتر تجمعات رودیستی در زمان حیاتشان به صورت ریف‌های منقطع کوچک و کومه‌ای رشد می‌کرده‌اند (موسوی‌زاده و رشیدی، ۱۴۰۲). اکثر بررسی‌های صورت گرفته بر روی رخساره‌های رودیستی و محیط رسوب‌گذاری سازند تاربور در زاگرس مربوط به زون‌های زاگرس مرتفع و فارس داخلی می‌باشند (شکل ۱ و جدول‌های ۱ و ۲). در حالی که مطالعات اندکی در زون‌های لرستان و فروافتادگی دزفول

جدول ۱. مطالعات انجام شده بر روی رخسارهای رودیستی کرتاسه بالابی سازند تاربور در زون‌های فارس داخلی، لرستان و فروافتادگی دزفول در حوضه رسوی زاگرس. لازم به ذکر است که رخساره رودیست بانداستون رخسارهای برجا و غیرواریزهای می‌باشد.

**Table 1.** Previous studies on Upper Cretaceous rudist facies of the Tarbur Formation in the Interior Fars, Lurestan and Dezful Embayment zones in the Zagros sedimentary Basin. Rudist boundstone is an autochthonous facies

محیط تشکیل رخساره رودیستدار	رخساره رودیستدار	محققین	محل برش مطالعه شده از سازند تاربور
قسمت کم عمق دریای باز (معادل پخش کم عمق- تر رمپ میانی یا جلوی ریف)	رودیست پکستون	شمس و همکاران (۱۳۹۱)	شمال شرق شیراز (کوه ایوب) زون فارس داخلی
محیط سد	رودیست گرین استون	// //	// //
سکوی کربناته باز کم شیب	۱- رودیست گرین استون ۲- رودیست وکستون	پروانه‌نژاد‌شیرازی و همکاران (۱۳۹۱)	شمال غرب شیراز (برش اینو) زون فارس داخلی
بخش عمیق تر رمپ میانی یا بخش عمیق تر جلوی (forereef) ریف	رودیست- اوربیتوبید وکستون	وزیری‌مقدم و همکاران (۲۰۰۵)	در منطقه خرامه در شرق شیراز/ زون فارس داخلی
بخش کم عمق تر رمپ میانی (با جلوی ریف) و در مجاورت با شول یا سد	رودیست پکستون	// //	// //
محیط شول	بایوکلاستیک (معادل رودیست گرین استون) گرین استون	// //	// //
بخش عمیق تر رمپ میانی یا بخش عمیق تر جلوی ریف	رودیست- اوربیتوبید وکستون	(۲۰۲۲)	شرق شیراز / زون فارس داخلی
بخش پرانرژی و سیار کم عمق جلوی ریف یا رمپ میانی	رودیست پکستون	// //	// //
بخش کم عمق تر و با انرژی متوسط تا زیاد جلوی ریف یا رمپ میانی	رودیست- اوربیتوبید پکستون	// //	// //
بخش کم عمق لagon یا محیط پشت ریف (back reef) (در مجاورت با سد یا شول یا بیلد آپ) با انرژی زیاد آب ناشی از افزایش امواج	رودیست- اینتر‌اکلاست- میلیولید پکستون	// //	// //
بخش کم عمق و پرانرژی لagon یا محیط پشت ریف (در مجاورت با سد یا شول یا بیلد آپ)	رودیست- فرامینیفرار گرین استون	// //	// //
بخش پرانرژی و کم عمق جلوی ریف یا رمپ میانی	اوربیتوبید- رودیست گرین استون	// //	// //
بخش پرانرژی و کم عمق جلوی ریف یا رمپ میانی	رودیست- فرامینیفرار- اینتر‌اکلاست گرین استون	// //	// //
بیلد آپ تحت تاثیر انرژی زیاد امواج	رودیست بانداستون	// //	// //
لagon مخصوص (معادل پشت ریف) در رمپ داخلی	بایوکلاست- میلیولید- رودیست وکستون/ پکستون	قنبیلو و همکاران (۲۰۲۲)	تنگ شبیخون- شمال غرب خرماباد / زون لرستان
پچ ریف رودیستی در لagon باز با شرایط کم انرژی و نرخ رسوب‌گذاری بالا	رودیست بانداستون	// //	// //
شول پرانرژی	بایوکلاست- رودیست پکستون/ گرین استون	// //	// //
دریای باز- بخش پرانرژی و کم عمق جلوی ریف یا رمپ میانی	بایوکلاست- رودیست فلوت استون/ رودستون	// //	// //
دریای باز- بخش پرانرژی و کم عمق جلوی ریف یا رمپ میانی	بایوکلاست- رودیست- اوربیتوبید پکستون	// //	// //
بخش جلوی سد (دریای باز): بخش پرانرژی و کم عمق جلوی ریف یا رمپ میانی	بایوکلاست (رودیست) پکستون	فکور و همکاران (۱۳۹۵)	دشت آبدان / زون فروافتادگی دزفول
سد	رودیست پکستون	// //	// //

زیاد امواج می‌باشد (افقه، ۲۰۲۲). بررسی‌های پروانه‌نژاد شیرازی و همکاران (۱۳۹۱) نشان داده است که سازند تاربور در شمال غرب شیراز (برش ابنو) (شکل ۱ و جدول ۱) در یک سکوی کربناته باز کم شب نهشته شده است و رخساره‌های رودیستی در آن شامل: ۱- رودیست گرین استون (حاوی خردنهای فراوان رودیست همراه با قطعات جبلک‌های قرمز و روزنده‌داران کفزی در زمینه‌ای از میکرات) و ۲- رودیست وکستون/ پکستون (حاوی خردنهای فراوان رودیست همراه با جبلک‌های قرمز و سبز و روزنده‌داران کفزی مانند *Loftusia* در زمینه‌ای از میکرات) هستند. لازم به ذکر است که جایگاه و یا محیط‌های رسوبی دو رخساره مزبور در برش ابنو به طور دقیق بر روی مدل سکوی کربناته مشخص نشده است.

براساس مطالعات قبیلو و همکاران (۲۰۲۲)، سازند تاربور در زون لرستان در منطقه تنگ شبیخون واقع در شمال غرب خرم‌آباد (شکل ۱ و جدول ۱) در یک سکوی کربناته هموکلینال نهشته شده است و رخساره‌های رودیستی شناسایی شده در آن به شرح زیر می‌باشند:

- ۱- بایوکلاست- میلیولید- رودیست وکستون/ پکستون (حاوی خردنهای رودیست و روزنده‌داران میلیولید به عنوان آلومه‌های اصلی همراه با خردنهای جبلک‌های آهکی سبز داسی کلاداسه، مرجان‌ها و روزنده‌داران کفزی مانند *Loftusia* به عنوان آلومه‌های فرعی در زمینه‌ای از میکرات).
- ۲- رودیست بانداستون (شامل رودیست‌ها به عنوان اجزای اصلی همراه با آلومه‌های فرعی مانند مرجان‌ها و روزنده‌داران کفزی در زمینه‌ای از آهک ریفی).
- ۳- بایوکلاست- رودیست پکستون/ گرین استون (حاوی خردنهای فراوان رودیست همراه با مقادیر کمی از جبلک‌های داسی کلاداسه، خارپوستان و روزنده‌داران میلیولید).
- ۴- بایوکلاست- رودیست فلوتاستون/رودستون (متشکل از قطعات فراوان بزرگ‌تر از ۲ میلی‌متر رودیست همراه با خردنهای مرجان‌ها، خارپوستان و روزنده‌داران کف-).
- ۵- بایوکلاست- رودیست- اوربیتoid پکستون (حاوی مقادیر فراوانی از خردنهای رودیست و روزنده‌داران کفزی اوربیتoid همراه با مقادیر کمی از سایر روزنده‌داران کفزی مانند *Loftusia* و همچنین استراکدها در زمینه‌ای از میکرات).

لازم به ذکر است که رخساره شماره ۱ در یک

افقه (۲۰۲۲) مطالعات جامع‌تر و جدیدتری را بر روی سازند تاربور در شرق شیراز انجام داد (شکل ۱ و جدول ۱). بر اساس بررسی‌های او بر روی رخساره‌ها در هفت برش چینه‌شناسی، رخساره‌های رودیستی زیر در یک شلف کربناته کم عمق شناسایی شدند: ۱- رودیست- اوربیتoid وکستون (حاوی ۲۰ درصد خردنهای رودیست با اشکال زاویه‌دار تا نیمه زاویه‌دار همراه با روزنده‌داران اوربیتoid و سایر روزنده‌داران چینه‌شناسی، رخساره‌های هگزاکورالیا در زمینه‌ای از گل آهکی). ۲- رودیست پکستون (حاوی خردنهای رودیست به میزان ۴۰ درصد و با اشکال زاویه‌دار تا نیمه زاویه‌دار در میزان ۴۰ درصد خردنهای رودیست- اوربیتoid پکستون- شامل مقادیر فراوانی روزنده‌دار اوربیتoid و سایر روزنده‌داران کفzی (۲۰ درصد) و ۳۰ درصد خردنهای رودیست در زمینه‌ای از گل کربناته). ۳- رودیست- اوربیتoid پکستون- (شامل روزنده‌دار اوربیتoid و سایر روزنده‌داران کفzی (۲۰ درصد) و ۳۰ درصد خردنهای رودیست در زمینه‌ای از میکرات میکروکریستالین با بخش‌هایی به طور لکه‌ای اسپارایتی). ۴- رودیست- اینتراکلاست- میلیولید پکستون (عمدتاً حاوی ۳۰ درصد خردنهای رودیست با جورشدنی ضعیف و ۱۰ درصد میلیولید در زمینه‌ای از میکرات). ۵- رودیست- فرامینیفر- گرین استون (شامل بیش از ۴۰ درصد خردنهای رودیست همراه با روزنده‌داران کفzی با دیواره آگلوتینه‌ای در زمینه‌ای از اسپارایت). ۶- اوربیتoid- رودیست گرین استون (حاوی روزنده‌داران اوربیتoid با فراوانی ۲۵ درصد و سایر روزنده‌داران کفzی با دیواره هیالین همراه با خردنهای رودیست با فراوانی کمتر از ۲۰ درصد در زمینه‌ای از اسپارایت). ۷- رودیست- فرامینیفر- اینتراکلاست گرین استون (شامل روزنده‌داران کفzی با دیواره هیالین به خصوص روتالیدها همراه با خردنهای رودیست (با فراوانی حدود ۴۰ درصد) و اینتراکلاست‌ها در زمینه‌ای از اسپارایت). ۸- رودیست بانداستون (رخساره‌ای بر جا متشکل از کلندی‌های بزرگ رودیست در زمینه‌ای از اسپارایت) بر اساس مطالعات افقه (۲۰۲۲) رخساره شماره ۱ در بخش عمیق‌تر جلوی ریف<sup>۱</sup> یا رمپ میانی نهشته شده است در صورتی که رخساره‌های شماره ۲، ۳، ۶ و ۷ در بخش پرانرژی و کم عمق جلوی ریف یا رمپ میانی تشکیل شده‌اند (افقه، ۲۰۲۲). رخساره‌های شماره ۴ و ۵ مربوط به بخش پرانرژی و کم عمق لاغون یا محیط پشت ریف<sup>۲</sup> در مجاورت با سد، شول یا برآمدگی‌های کربناته می‌باشد. در نهایت اینکه رخساره شماره ۸ نشان دهنده یک برآمدگی کربناته تحت تاثیر انرژی

<sup>2</sup> back reef

<sup>1</sup> forereef

لاغون و در مجاورت با سد نهشته شده است. قنبرلو و همکاران (۱۳۹۸) مدل رسوب‌گذاری سازند تاربور در ناحیه مورک در جنوب سمیرم (شکل ۱ و جدول ۲) را سکوی کربناته از نوع رمپ هموکلینال تشخیص دادند و سه رخساره‌ای رودیستی زیر را در آن شناسایی کردند: ۱- بایوکلاست- رودیست گریناستون (حاوی خرده‌های فراوانی از رودیست‌ها با فراوانی ۷۰ درصد همراه با مقدار کمی خرده جبلک داسی کلاسی، خارپوست، نرم‌تنان و *Loftusia* و *Omphalocyclus*). این رخساره معرف یک سد بایوکلاستی پرانرژی می‌باشد (قنبرلو و همکاران، ۱۳۹۸)، ۲- بایوکلاست- رودیست پکستون (رودستون) شامل خرده‌های رودیست با فراوانی ۶۵ درصد به عنوان آلومک‌های اصلی و قطعات بایوکلاستی مرجان، خارپوست، بریوزر و استراکد به عنوان آلومک‌های فرعی). ۳- بایوکلاست- رودیست- اوربیتoid و کستون/پکستون (اجزای اصلی این رخساره شامل ۵۰ درصد روزن‌دار کفازی شامل *Orbitoides*-*Sidrolites*-*Lepidorbitoides*-*Omphalocyclus* همراه با خرده‌های رودیست به میزان ۳۵ درصد می‌باشند). سه رخساره ذکر شده به ترتیب در محیط‌های سد بایوکلاستی، رمپ میانی و بخش پرانرژی و کم عمق رمپ میانی یا جلوی ریف نهشته شده‌اند (قنبرلو و همکاران، ۱۳۹۸). در برش گردبیشه در شمال شرق لردگان واقع در زون زاگرس مرتفع (شکل ۱ و جدول ۲)، سازند تاربور در یک سکوی کربناته از نوع رمپ هموکلینال نهشته شده است (موسی و عسگری پیربلوطی، ۱۳۸۷). طبق بررسی‌های موسی و عسگری پیربلوطی (۱۳۸۷)، رخساره‌های رودیستی تشکیل شده در برش گردبیشه به شرح زیر می‌باشند: ۱- رودیست پکستون (متشکل است از خرده‌های فراوان رودیست در زمینه‌ای از میکرایت). ۲- بایوکلاست- رودیست گریناستون (حاوی خرده‌های فراوان رودیست به صورت تقریباً گرد شده همراه با مقادیر کمی از قطعات بریوزوئرها در زمینه‌ای از اسپارایت). ۳- دیسیکلینا- میلیولید- بایوکلاست (رودیست) و کستون/پکستون (متشکل از روزن‌داران کفازی شامل میلیولیدها و جنس *Dicyclina* و خرده‌های رودیست در زمینه‌ای از میکرایت. خرده‌های شکم‌پایان و روزن‌دارانی مانند جنس‌های *Neazzata* و *Omphalocyclus* و *Loftusia* به عنوان آلومک‌ها یا دانه‌های فرعی حضور دارند).

لاغون محصور (معادل پشت ریف) در رمپ داخلی تشکیل شده است و رخساره شماره ۲ مربوط به یک پچ ریف رودیستی در لاغون می‌باشد (قنبرلو و همکاران، ۲۰۲۲). همچنین رخساره شماره ۳ در یک محیط شول و رخساره‌های شماره ۴ و ۵ در دریای باز و در بخش پرانرژی و کم عمق جلوی ریف یا رمپ میانی شکل گرفته‌اند (قنبرلو و همکاران، ۲۰۲۲). فکور و همکاران (۱۳۹۵) با معرفی دو رخساره رودیستی در سازند تاربور در دشت آبادان واقع در زون فروافتادگی دزفول، مدل رسوب‌گذاری (شکل ۱ و جدول ۱) آن را به یک سکوی کربناته از نوع رمپ نسبت دادند. رخساره‌های رودیستی شناسایی شده شامل موارد زیر می‌باشند: ۱- بایوکلاست (رودیست) پکستون (حاوی خرده‌های فراوان رودیست همراه با آلومک‌های فرعی مانند قطعات مرجان و خارپوستان و پلوئید). ۲- رودیست پکستون (شامل قطعات فراوان رودیست با فراوانی بیشتر از ۵۰ درصد و تعداد کمی روزن‌دار کفازی کوچک در زمینه‌ای از سیمان کربناته). رخساره شماره ۱ مربوط به بخش جلوی سد (دریای باز) یا بخش پرانرژی و کم عمق جلوی ریف یا رمپ میانی می‌باشد و دومنی رخساره نیز در محیط سد نهشته شده است (فکور و همکاران، ۱۳۹۵). طبق مطالعات عزیزی و همکاران (۱۳۹۴) سازند تاربور در جنوب غرب سمیرم واقع در زون زاگرس مرتفع (شکل ۱ و جدول ۲) در یک شلف باز کم شیب نهشته شده است و رخساره‌های رودیستی شناسایی شده در آن به شرح زیر می‌باشند (عزیزی و همکاران، ۱۳۹۴): ۱- رودیست پکستون (رودستون) (شامل خرده‌های بزرگ و فراوانی از رودیست‌ها به عنوان آلومک‌های اصلی و قطعات خارپوستان به صورت کم و فرعی). این رخساره مربوط به دریای باز و شلف میانی می‌باشد. ۲- رودیست بانداستون (به صورت ماکروسکوپی متشکل است از مجموعه‌ای از رودیست‌های منفرد و چندتایی خوش‌های به صورت درجا و با حفظ شدگی زیاد همراه با خرده‌های مرجان و روزن‌داران کفازی مانند اورلیتoidها و جنس *Omphalocyclus* به صورت اجزای فرعی در مقیاس میکروسکوپی). این رخساره در محیط سد شکل گرفته است. ۳- میلیولید- لوفتوزیا- اوربیتoid- رودیست و کستون/ پکستون (حاوی روزن‌داران کفازی نظیر اورلیتoidها، میلیولیدها، جنس‌های *Loftusia* و *Omphalocyclus* همراه با خرده‌های رودیست به عنوان آلومک‌های اصلی). رخساره مذبور در قسمت پرانرژی تر

جدول ۲. مطالعات انجام شده بر روی رخساره‌های رودیستی کرتاسه بالایی سازند تاربور در زون زاگرس مرتفع در حوضه رسوی زاگرس، لازم به ذکر است که رخساره رودیست بانداستون رخساره‌ای برجا و غیروارزی‌های می‌باشد.

Table 2. Previous studies on Upper Cretaceous rudist facies of the Tarbur Formation in the High Zagros Zone in the Zagros sedimentary Basin. Rudist boundstone is an autochthonous facies

محیط تشکیل رخساره رودیستدار	رخساره رودیستدار	محققین	محل برش مطالعه شده از سازند تاربور
دریای باز: در قسمت ابتدایی شلف میانی با انزی متوسط- بالا بخش پرانرژی و کم عمق جلوی ریف یا رمپ میانی) سد	رودیست پکستون (رودستون)	عزیزی و همکاران (۱۳۹۴)	جنوب غرب سمیرم / زون زاگرس مرتفع
قسمت پرانرژی تر لagon و در مجاورت با سد بخش‌های بازتر لagon با چرخش آب ازad در شلف داخلی با شوری نرمال آب	میلیولید- لوفنوزیا- اوربیتید- رودیست وکستون/ پکستون	// //	// //
سد بایوکلاستی	بایوکلاست- رودیست گرین استون	قشرلو و همکاران (۱۳۹۸)	ناحیه مورگ در جنوب سمیرم / زون زاگرس مرتفع
رمپ میانی	بایوکلاست- رودیست پکستون (رودستون)	// //	// //
رمپ میانی محیط پرانرژی و امواج توفانی تا نرمال (بخش پرانرژی و کم عمق جلوی ریف با رمپ میانی)	بایوکلاست- اوربیتید وکستون/ پکستون	// //	// //
دریای باز-	رودیست پکستون	موسی و عسگری (۱۳۸۷) پیربلوطی	برش گردبیشه در شمال شرق لرگان/ زون زاگرس مرتفع
سد	بایوکلاست- رودیست گرین استون	// //	// //
لagon پشت سدی	دیسیکلینتا- میلیولید- بایوکلاست (رودیست وکستون/ پکستون	// //	// //
بخش کم عمق دریای باز (بخش پرانرژی و کم عمق جلوی ریف با رمپ میانی)	رودیست وکستون/ فلوات استون	بامداد و همکاران (۱۳۸۵)	ناحیه ناغان در جنوب شهر کرد / زون زاگرس مرتفع
سد بایوکلاستی	بایوکلاست- رودیست گرین استون	// //	// //
لagon	فرامینیفرا- رودیست پکستون/ گرینستون	// //	// //
لagon محصور	فرامینیفرا- بایوکلاست- رودیست وکستون/ پکستون	// //	// //

خارپوستان می‌باشند و در زمینه‌ای از اسپارایت پراکنده شده‌اند. ۳- فرامینیفرا- رودیست پکستون/ گرینستون (آلوکم‌های اصلی این رخساره شامل روزندهاران کفازی *Loftusia*, *Dicyclina*, *Omphalocyclus* مانند *Dictyoconus* و میلیولیدها همراه با خرده‌های رودیست می‌باشند). ۴- فرامینیفرا- بایوکلاست- رودیست وکستون/ پکستون (حاوی روزندهاران کفازی بدون منفذ مانند میلیولیدها *Loftusia*, *Dicyclina* و *Dictyoconus* خرده‌های رودیست به عنوان اجزای اصلی و جلک‌های داسی کلاداسه آنیز به مقدار کم به عنوان اجزای فرعی). رخساره شماره ۱ در بخش کم عمق دریای باز (بخش پرانرژی و کم عمق جلوی ریف) و رخساره شماره ۲ در محیط سدی نهشته شده‌اند در حالی که رخساره‌های شماره ۳ و ۴ مربوط به محیط لagon می‌باشند.

سه رخساره مزبور به ترتیب در بخش پرانرژی و کم عمق جلوی ریف یا رمپ میانی، محیط سد و لagon پشت سدی شکل گرفته‌اند (موسی و عسگری پیربلوطی، ۱۳۸۷). بامداد و همکاران (۱۳۸۵) سازند تاربور را در ناحیه ناغان در جنوب شهر کرد در زون زاگرس مرتفع مطالعه کردند (شکل ۱ و جدول ۲) و چهار رخساره رودیستی را در یک سکوی کربناته از نوع رمپ هموکلینال شناسایی نمودند. این رخساره به شرح زیر می‌باشند (بامداد و همکاران، ۱۳۸۵): ۱- رودیست وکستون/ پکستون/ فلوات استون (حاوی خرده‌های رودیست در زمینه‌ای از گل‌آهکی). ۲- بایوکلاست- رودیست گرین استون (اجزای اصلی این رخساره شامل خرده‌های رودیست می‌باشند که بعضًا همراه با روزندهاران کفازی مانند جنس‌های *Dictyoconus* و *Omphalocyclus*, *Loftusia* و خرده‌های

شول یا برآمدگی کربناته و احتمالاً به طور محدودتری از یک پچ ریفی رودیستی در محیط لاغون، توسط امواج توفانی و انرژی زیاد آب محیط بوده باشند که متعاقباً در محیط رسوب‌گذاری حمل و جابجا می‌شدن. در سازند تاربور رخساره غیرواریزهای رودیست بانداستون و رخساره‌های رودیست پکستون/ گرین استون و رودیست رودستون/ فلوت استون که مشابهشان در سازند سروک از پتانسیل مخزنی خوبی برخوردار می‌باشند با توجه تخلخل (اولیه و ثانویه)، تراوایی و فشار میانی‌گی بالایی که می‌توانند داشته باشند در صورت ناچیز بودن عملکرد فرآیندهای دیاژنزی فشرده‌گی و سیمانی شدن در آن‌ها، از قابلیت مخزنی بالایی می‌توانند برخوردار می‌باشند.

### تشکر و قدردانی

نویسنده این مقاله از سردبیر محترم، هیئت تحریریه نشریه یافته‌های نوین زمین‌شناسی کاربردی و همچنین داوران محترم بابت نکات ارزشمندی که در ارتباط با متن متذکر شدند نهایت تشکر و سپاسگزاری را دارد.

### References

- Afghah, M (2022) Microfacies and depositional environment of Tarbur Formation (Upper Cretaceous-Lower Palaeocene) Zagros area, southwestern Iran. Geological Journal, 57(7): 2868–2883. doi.org/10.1002/gj.4450.
- Aghanabati, S. A (2004) Geology of Iran, Geological Survey of Iran, Tehran, 586p. (In Persian).
- Alavi, M (2007) Structures of the Zagros fold-thrust belt in Iran. American Journal of Science, 307: 1064–1095.
- Azizi, R., Safar, A., Vaziri-Moghaddam, H (2015) Microfacies, sedimentary environment and sequence stratigraphy of the Tarbur Formation in Semirom area (southwest of Isfahan). Sedimentary facies, 8(2): 198–215. (In Persian). doi.org/10.22067/SED.FACIES.V8I2.13225.
- Amiri Bakhtiar, H., Shemirani, A., Sadeghi, A., Vaziri-Moghaddam, H (2006) Revision of the lithostratigraphy and biostratigraphy of the Tarbur Formation in the sampling location (Gadayoun Mountain, Shiraz). 10th symposium of geological society of Iran, Tehran (In Persian)
- Bamdad, L., Safari, A., Vaziri-Moghaddam, H (2006) Microfacies and sedimentary environment of the Tarbur Formation in Naghan District, southwest of Shahrekord. 25th symposium of geosciences, Geological Survey of Iran, Tehran. (In Persian).
- Berberian, M., King, G (1981) Towards a paleogeography and tectonic evolution of Iran.
- ۴- نتیجه‌گیری**
- نهشته‌های کرتاسه بالایی سازند تاربور در حوضه رسوی زاگرس عمدتاً در زون‌های فارس داخلی، زاگرس مرتفع، لرستان و فروافتادگی دزفول نهشته و عموماً به صورت یک سکوی کربناته از نوع رمپ هموکلینال رسوب‌گذاری کرده‌اند و بیشتر در زون‌های فارس داخلی و زاگرس مرتفع گسترش داشته‌اند. در سکوی کربناته سازند تاربور، رخساره‌های رودیستی در محیط‌های: ۱- سد، شول یا برآمدگی کربناته، ۲- دریای باز (هر دو بخش کم عمق و عمیق رمپ میانی یا جلوی ریف) و ۳- لاغون یا محیط پشت ریف در شرایط آب و هوایی گرم با دمای بیشتر از ۲۵ درجه سانتی‌گراد نهشته شدن. در حوضه رسوی زاگرس کمترین تنوع رخساره‌های رودیستی سازند تاربور مربوط به زون فروافتادگی دزفول می‌باشد. رخساره‌های رودیستی نهشته شده در محیط‌های سد، شول یا برآمدگی کربناته در حوضه رسوی زاگرس شامل دو رخساره اصلی: ۱- رودیست گرین استون و ۲- بایوکلاست- رودیست پکستون/ گرین استون همراه با رخساره برجای رودیست بانداستون می‌باشند. در محیط دریایی باز (رمپ میانی یا جلوی ریف) رخساره‌های رودیستی شامل: ۱- رودیست وکستون/پکستون، ۲- رودیست- اوربیتoid و کستون/ پکستون، ۳- بایوکلاست- رودیست- اوربیتoid و کستون/ پکستون، ۴- اوربیتoid- رودیست گرین استون، ۵- رودیست- فرامینیفر- اینترالکلاست گرین استون و ۶- بایوکلاست- رودیست پکستون/ فلوت استون/ لاغون یا پشت ریف در حوضه رسوی زاگرس به شرح زیر می‌باشند: ۱- میلیولید- لوقتوزیا- اوربیتoid- رودیست وکستون/ پکستون. ۲- دیسیکلینا- میلیولید- بایوکلاست (رودیست) و کستون/ پکستون. ۳- بایوکلاست- میلیولید- رودیست وکستون/ پکستون. ۴- فرامینیفر- بایوکلاست- رودیست وکستون/ پکستون. ۵- رودیست- اینترالکلاست- میلیولید پکستون. ۶- فرامینیفر- رودیست پکستون/ گرین استون. رخساره برجای رودیست بانداستون نیز به صورت محلی و محدود در پچ ریف‌های رودیستی درون لاغونی در نقاطی از زاگرس تشکیل شده است. خردۀای فراوان رودیست در سکوی کربناته سازند تاربور می‌توانسته حاصل شکسته شدن و جدا شدن آن‌ها از یک ساختار برجای رودیستی با کلنی‌های رودیست در محیط‌های سد،

- Ghanbarloo, H., Safari, A., Vaziri-Moghaddam, H (2021) Reconstruction of the sedimentary environment of the Tarbur Formation based on microfacies and microtaphofacies analysis in the Murak area (southwest of Semiroom). *Iranian Journal of Petroleum Geology*, 9 (18): 1–20. (In Persian).
- Ghanbarloo, H., Safari, A., Vaziri-Moghaddam, H (2022) Biostratigraphy and Sequence Stratigraphy of the Tarbur Formation (Maastrichtian) from Iranian Zagros Foreland Basin, Southwest of Iran. *Acta Geologica Sinica-English Edition*, 96(1): 147–166. doi.org/10.1111/1755-6724.14767.
- Haq, B. U (2014) Cretaceous eustasy revisited. *Global and Planetary change*, 113: 44–58. doi.org/10.1016/j.gloplacha.2013.12.007.
- Hartshorne, P. M (1989) Facies architecture of a Lower Cretaceous coral-rudist patch reef, Arizona. *Cretaceous research*, 10(4): 311–336. doi.org/10.1016/0195-6671(89)90008-6.
- Heydari, E (2008) Tectonics versus eustatic control on supersequences of the Zagros Mountains of Iran. *Tectonophysics*, 451(1–4): 56–70. doi.org/10.1016/j.tecto.2007.11.046.
- James, G., Wynd, J (1965) Stratigraphic nomenclature of Iranian oil consortium agreement area. *American Association of Petroleum Geologists bulletin*, 49(12): 2182–2245. doi.org/10.1306/A663388A-16C0-11D7-8645000102C1865D.
- Johnson, C. C., Sanders, D., Kauffman, E. G., Hay, W. W (2001) Patterns and processes influencing Upper Cretaceous reefs. In: Flügel, E., Kiessling, W., Golonka, J (eds) *Phanerozoic reef patterns*. SEPM Special Publication, 72: 549–585. doi.org/10.2110/pec.02.72.0549.
- Jordan, Jr CF, Connally, Jr TC., Vest, H. A (1985) Middle Cretaceous carbonates of the Mishrif Formation, Fateh field, offshore Dubai, UAE. In: Carbonate pet reservoirs. doi.org/10.1007/978-1-4612-5040-1\_27.
- Keller, G., Adatte, T., Berner, Z., Chellai, E. H., Stueben, D (2008) Oceanic events and biotic effects of the Cenomanian-Turonian anoxic event, Tarfaya Basin, Morocco. *Cretaceous Research*, 29(5–6): 976–994. doi.org/10.1016/j.cretres.2008.05.020.
- Moosavizadeh, S. M. A., Rashidi, K (2023) Sedimentary environment of Tarbur Formation in the interior Fars Province, Mandeng and Khanehnahar sections. *Applied Sedimentology*, 11 (22): 108–126. (In Persian). doi.org/10.22084/PSJ.2023.27452.1387.
- Moro, A., Skelton, P. W., Cosović, V (2002) Palaeoenvironmental setting of rudists in the Upper Cretaceous (Turonian–Maastrichtian) Adriatic carbonate platform (Croatia), based on sequence stratigraphy. *Cretaceous Research*, 23:489–508. doi.org/10.1006/cres.2002.1017.
- Canadian Journal of Earth Sciences, 18(2): 210–265. doi.org/10.1139/e81-019.
- Beydoun, Z. R., Hughes Clarke, M. W., Stoneley, R (1992) Petroleum in the Zagros Basin: A Late Tertiary Foreland Basin Overprinted onto the Outer Edge of a Vast Hydrocarbon-Rich Paleozoic-Mesozoic Passive-Margin Shelf, Chapter 11. *American Association of Petroleum Geologists Memoir*, 55: 309–339. doi.org/10.1306/M55563C12.
- Cestari, R., Sartorio, D (1995) Rudists and facies of the Periadriatic domain, 207 pp., San Donato Milanese (Agip).
- Dravis, J (1996) Play attributes of Cretaceous rudist reef reservoirs-examples from the Gulf of Mexico and the Middle East. *Houston Geological Society Bulletin*, 38: 16–21.
- Du, Y., Zhang, J. L., Zheng, S. F., Xin, J., Chen, J., Li, Y. Z (2015) The rudist buildup depositional model, reservoir architecture and development strategy of the cretaceous Sarvak formation of Southwest Iran. *Petroleum*, 1(1): 16–26. doi.org/10.1016/j.petlm.2015.04.001.
- Dunham, R. J (1962) Classification of carbonate rocks according to depositional textures In: Ham WE (ed) *Classification of carbonate rocks*, vol 1. American Association of Petroleum Geologists Memoirs, 1: 108–121.
- Embry, A. F., Klovan, J. E (1971) A late Devonian reef tract on northeastern Banks Island, NWT. *Bulletin of Canadian Petroleum Geology*, 19: 730–781. doi.org/10.35767/gscpgbull.19.4.730.
- Esrafil-Dizaji, B., Rahimpour-Bonab, H., Mehrabi, H., Afshin, S., Harchegani, F. K., Shahverdi, N (2015) Characterization of rudist-dominated units as potential reservoirs in the middle Cretaceous Sarvak Formation, SW Iran. *Facies*, 61(3): 14. doi.org/10.1007/s10347-015-0442-8.
- Fakouri, R., Jahani, D., Adabi, M. H., Taati, F (2016) Facies analysis, sedimentary environment and sequence stratigraphy of Tarbur Formation (Maastrichtian) in one of the oil fields in the Abadan Plain. *Scientific Journal of Exploration & Production Oil & Gas*, 139: 59–67. (In Persian).
- Fakhari, M. D., Axen, G. J., Horton, B. K., Hassanzadeh, J., Amini, A (2008) Revised age of proximal deposits in the Zagros foreland basin and implications for Cenozoic evolution of the High Zagros. *Tectonophysics*, 451(1–4): 170–185. doi.org/10.1016/j.tecto.2007.11.064.
- Falcon, N. L (1974) Southern Iran: Zagros Mountains. *Geological Society, London, Special Publications*, 4: 199–211. doi.org/10.1144/GSL.SP.2005.004.01.11.
- Flügel, E (2010) *Microfacies of carbonate rocks, analysis interpretation and application*, Springer, Berlin, 984p. doi.org/10.1007/978-3-642-03796-2.

- 33(3): 465–476. doi.org/ 10.1007/s13146-017-0355-4.
- Shams, P., Parvaneh Nejad Shirazi, M., Bahrami, M (2011) Paleoecology of the Tarbor Formation in the northeast of Shiraz. 16th symposium of geological society of Iran, University of Shiraz. (In Persian).
- Skelton, P. W (1978) The evolution of functional design in rudists (Hippuritacea) and its taxonomic implications. *Philosophical Transactions of the Royal Society B*, 284: 305–318. doi.org/ 10.1098/rstb.1978.0069.
- Skelton, P. W., Gili, E., Vicens, E., Obrador, A (1995) The growth fabric of gregarious rudist elevators (hippuritids) in a Santonian carbonate platform in southern Central Pyrenees. *Palaeogeography, Palaeoclimatology Palaeoecology*, 119: 107–126.
- Steuber, T., Löser, H (2000) Species richness and abundance patterns of Tethyan Cretaceous rudist bivalves (Mollusca: Hippuritacea) in the central-eastern Mediterranean and Middle East, analysed from a palaeontological database. *Palaeogeography, Palaeoclimatology, Palaeoecology*, 162(1–2): 75–104. doi.org/10.1016/S0031-0182(00)0106-1.
- Vaziri-Moghaddam, H., Safari, A., Shahriari Geraei, S., Khazaie, A., Taheri, A (2013) Biostratigraphy and Palaeoecology of the Maestrichtian Deposits (Tarbur and Gurpi Formations) at Gardbishe Area (South of Borjen). *Scientific Quarterly Journal of Geosciences*, 22 (87): 143–162. (In Persian).
- Vaziri-Moghaddam, H., Safari, A., Taheri, A (2005) Microfacies, paleoenvironments and sequence stratigraphy of the Tarbur Formation in Kherameh area, SW Iran. *Carbonates and Evaporites*, 20(2): 131–137.
- Wilmsen, M., Fürschich, F. T., Seyed-Emami, K., Majidifard, M. R (2009) An overview of the stratigraphy and facies development of the Jurassic System on the Tabas Block, east-central Iran. In: M.F. Brunet; M. Wilmsen & J.W. Granath (eds) South Caspian to central Iran basins. Geological Society, Special Publications, 312: 323–343. doi.org/10.1144/SP312.15.
- Wright, V. P (1992) A revised classification of limestones. *Sedimentary Geology*, 76: 177–186. doi.org/ 10.1016/0037-0738(92)90082-3.
- Moro, A., Mezga, A., Cosović, V., Tunis, G., Tarlao, A (2008) Rudists and dinosaur footprints—mutual relationship within mud-supported Upper Cenomanian peritidal limestones of Istria, Croatia. *Bollettino della Società Geologica Italiana*, 127(2): 423–428.
- Moro, A., Cosović, V., Benić, J., Dokmanović, J (2010) Taxonomy of rudists from the Campanian transgressive sediments of Brašljevica, Donje Orešje and Sv. Martin, Northern Croatia. *Turkish Journal of Earth Science*, 19: 613–633. doi.org/ 10.3906/yer-0901-12.
- Moro, A., Horvat, A., Tomić, V., Sremac, J., Bermanec, V (2016) Facies development and paleoecology of rudists and corals: an example of Campanian transgressive sediments from northern Croatia, northeastern Slovenia, and northwestern Bosnia. *Facies*, 62: 19.
- Moussavi, M., Asghari Pirbaluti, B (2008) Investigation of microfacies, sedimentary environment and rudists of Tarbur Formation in Gurdbisheh section, Chaharmahal Bakhtiari province. 4th conference of applied geology and environment, Islamic Azad University of Islamshahr. (In Persian).
- Parvaneh Nejad Shirazi, M., Bahrami, M., Ghayur, M (2012) Investigation of rudist facies and paleoecology of Maastrichtian deposits in Abno region. 16th symposium of geological Society of Iran, Shiraz. (In Persian).
- Philip, J., Platel, J. P (1996) Worldwide geographical distribution of the species of the foraminiferal genus *Loftusia*. *Istanbul university Fen Fakultesi Mecmuası*, 42(3): 143–155.
- Rahimnejad, A. H., Moosavizadeh, S. M. A (2023) Benthic foraminiferal biostratigraphy of the Oligocene sequence of the Asmari Formation in the Interior Fars Sub-zone, Zagros Belt, SW Iran. *Revista Brasileira de Paleontologia*, 26(3): 212–226.
- Rezaei Soulhani, Y., Khazaie, A., Mirab Shabestari, Gh (2016) Morphology, taxonomy and species distribution Biradiolites in sediments of Late Cretaceous North Block Lot, Bajestan area (Shahrak Sanati Section). 10th symposium of paleontological society of Iran, Farhangiyan University of Neyshabur. (In Persian).
- Ross, D. J., Skelton, P. W (1993) Rudist formations of the Cretaceous: a palaeoecological, sedimentological and stratigraphical review. In: Wright P (ed) *Sedimentology review 1*. Blackwell, London, pp 73–91. doi.org/10.1002/9781444304534.ch5.
- Sadooni, F. N (2018) Impact of the demise mechanisms of the Cretaceous rudist buildups in the Arabian Plate on their reservoir characteristics. *Carbonates and Evaporites*,

## Investigating paleoenvironments and reservoir potential of rudist facies of the Tarbur Formation in the Zagros sedimentary Basin, SW Iran

A. H. Rahiminejad

Assist. Prof., Dept., of Ecology, Institute of Science and High Technology and Environmental Sciences,  
Graduate University of Advanced Technology, Kerman, Iran

\* ah.rahiminejad@kgut.ac.ir

Received: 2023.11.20 Accepted: 2024.4.16

### Abstract

This study investigates paleoenvironments and reservoir potential of rudist facies of the Upper Cretaceous Tarbur Formation in the Zagros sedimentary Basin. Deposition of the Tarbur Formation mainly took place on a carbonate homoclinal ramp. The rudist facies associated with a shoal, barrier or buildup environment include: 1–rudist grainstone and 2– bioclast-rudist packstone/grainstone together with the autochthonous rudist boundstone facies. The middle ramp or reef front environment is represented by: 1–rudist wackestone/ packstone, 2–rudist-orbitoid wackestone/packstone, 3– bioclast-rudist-orbitoid wackestone/ packstone, 4–orbitoid-rudist grainstone, 5–rudist- foraminifera-intraclast grainstone and 6– bioclast- rudist packstone/floatstone/rudstone. The rudist facies deposited in a lagoon or back reef environment are as follows: 1–miliolid-Loftusia-orbitoid- rudist wackestone/ packstone. 2– Dicyclina-miliolid-bioclast (rudist) wackestone/ packstone. 3–bioclast- miliolid-rudist wackestone/ packstone. 4– foraminifera- bioclast- rudist wackestone/packstone. 5– rudist- intraclast- miliolid packstone. 6– foraminifera- rudist packstone/grainstone. Rudist boundstone facies was occasionally deposited in lagoon rudist patch reefs. The rudist facies of the carbonate ramp of the Tarbur Formation were deposited in shallow warm waters with temperature of more than 25 °C. Bioclastic fragments of rudists could have been removed from in situ rudist colonies in a shoal, barrier or buildup environment, and possibly also from a restricted lagoon patch reef and transported by waves and high water energy. Autochthonous rudist boundstone facies as well as rudist packstone/ grainstone and rudist rudstone/floatstone facies tend to have high reservoir potential in the Tarbur Formation.

**Keywords:** Carbonate platform, Rudist, Tarbur Formation, Facies, Late Cretaceous

### Introduction

During the Cretaceous (between 65 and 140 MA), carbonate facies, reefs and build-ups were widely developed in the shallow carbonate platforms of the Tethys Ocean between 20°N and 40°S. This time span represents one of the warmest periods of the Earth's history indicative of climatic fluctuations. Rudist are one of the most abundant macrofossils in the Cretaceous (particularly in the Late Cretaceous) shallow marine carbonate deposits in the marginal tropical and sub-tropical regions of the Tethys. They mainly existed in a time span ranging from the Late Jurassic to the Latest Cretaceous. These heterodont bivalves lived as epibenthic suspension feeders and sediment dwellers and could locally form extended reefs and build-ups (with or without corals) in subtidal environments. Carbonate rudist facies contain abundant fragments of rudists and are one of the most important types of carbonate rocks. They

comprise significant parts of carbonate reservoirs in the Middle East and the Mediterranean regions. This study investigates paleoenvironments and reservoir potential of rudist facies of the Upper Cretaceous Tarbur Formation in the Zagros sedimentary Basin, south western Iran. The formation comprises one of the most rudist-rich deposits in Iran.

### Results and Discussion

During the Cretaceous, a large number of rudist fragments/debris with different sizes separated from living rudist communities and were subsequently accumulated in different sedimentary environments of carbonate platforms as rudist facies. Distribution of rudist communities and accumulation of their fragments in the Cretaceous carbonate platforms have been controlled by development of paleohighs. Stormy waves in the Cretaceous sedimentary environments were also another

factor in destruction and fragmentation of rudist communities. Generally, the rudist facies formed by accumulation of abundant rudist debris were deposited in the shoal/ barrier, reef, lagoon (next to a barrier or shoal) and middle –upper outer ramp settings and marginal shelves. Based on the sedimentary texture, size and abundance of the rudist bioclasts and the classifications defined by Dunham (1962), Embry and Klovan (1971) and Wright (1992), the rudist facies can be divided into the main following carbonate types: rudist grainstone, rudist packstone, rudist wackestone, rudist floatstone and rudist rudstone. However, rudist boundstone is an autochthonous facies formed by *in situ* growth of rudist bivalves. Rudist packstone, rudist grainstone, rudist rudstone, rudist floatstone and rudist boundstone represent good reservoir quality due to their sedimentary textures and high porosities. The rudist fragments are one of the main skeletal components of many of the carbonate platform facies of the Upper Cretaceous Tarbur Formation in the Zagros sedimentary Basin. The rudist facies of the carbonate ramp of the Tarbur Formation in the Zagros Basin have been mainly studied in High Zagros and Interior Fars zones, whereas, they were

poorly studied in the Lurestan and Dezful Embayment zones. Generally, the rudist facies deposited in the shoal/barrier setting and or build-up include: 1– bioclast-rudist packstone/grainstone, 2– rudist grainstone and autochthonous rudist boundstone. The following rudist facies are indicative of the reef front environment or middle ramp: 1– rudist wackestone/packstone, 2– rudist-orbitoid wackestone/packstone, 3– bioclast-rudist-orbitoid wackestone/packstone, 4– orbitoid-rudist grainstone, 5– rudist-foraminifera-intraclast grainstone and 6– bioclast-rudist packstone/floatstone/rudstone. The deposition of the following rudist facies took place in back reef or lagoon setting: 1– miliolid-Loftusia- orbitoid-rudist wackestone/packstone. 2– Dicyclina-miliolid- bioclast (rudist) wackestone/ packstone. 3– bioclast- miliolid- rudist wackestone/ packstone. 4– foraminifera-bioclast-rudist wackestone/packstone. 5–rudist-intraclast-miliolid packstone. 6–foraminifera-rudist packstone/grainstone. Rudist boundstone facies was occasionally deposited in lagoon rudist patch reefs. The rudist facies of the Tarbur Formation in the Zagros sedimentary Basin formed in shallow warm waters ( $>25^{\circ}\text{C}$ ). A restricted lagoon patch reef and *in situ* rudist colonies in a shoal, barrier or buildup settings could possibly

have been the source of rudist debris which were subsequently transported by high water energy and waves. Generally, the rudist rudstone/floatstone, rudist packstone/ grainstone and the autochthonous rudist boundstone facies in the Tarbur Formation can have high reservoir quality.

### Conclusions

This study is focused on investigation of paleoenvironments and reservoir potential of rudist facies of the Upper Cretaceous Tarbur Formation in the Zagros sedimentary Basin. Deposition of the Tarbur Formation mainly took place on a carbonate homoclinal ramp. The rudist facies associated with a shoal, barrier or build-up environment include: 1–rudist grainstone and 2–bioclast-rudist packstone/grainstone together with the autochthonous rudist boundstone facies. The middle ramp or reef front environment is represented by: 1– rudist wackestone/ packstone, 2– rudist- orbitoid wackestone/ packstone, 3– bioclast-rudist-orbitoid wackestone/ packstone, 4– orbitoid-rudist grainstone, 5– rudist-foraminifera-intraclast grainstone and 6– bioclast-rudist packstone/floatstone/rudstone. The rudist facies deposited in a lagoon or back reef environment are as follows: 1–miliolid-Loftusia- orbitoid- rudist wackestone/ packstone. 2– Dicyclina- miliolid- bioclast (rudist) wackestone/ packstone. 3–bioclast- miliolid- rudist wackestone/ packstone. 4–foraminifera-bioclast-rudist wackestone/ packstone. 5–rudist-intraclast-miliolid packstone. 6– foraminifera-rudist packstone/ grainstone. Rudist boundstone facies was occasionally deposited in lagoon rudist patch reefs. The rudist facies of the carbonate ramp of the Tarbur Formation were deposited in shallow warm waters with temperature of more than  $25^{\circ}\text{C}$ . Bioclastic fragments of rudists could have been removed from *in situ* rudist colonies in a shoal, barrier or buildup environment, and possibly also from a restricted lagoon patch reef and transported by waves and high water energy. Autochthonous rudist boundstone facies as well as rudist packstone/ grainstone and rudist rudstone/floatstone facies tend to have high reservoir potential in the Tarbur Formation.